

приемами, например, по методу С. А. Чаплыгина [10]. Из преимуществ метода оценок следует отметить простоту нахождения последующих разложений по степеням $1/\theta_0$, знание интервала, в котором располагается точное решение, простоту обобщения на функции тепловыделения, отличающиеся от аррениусовской. Предварительные результаты данной работы применительно к ламинарным пламенам сообщены в [11].

Поступила 5 V 1975

ЛИТЕРАТУРА

1. Новиков С. С., Рязанцев Ю. С. О существовании и единственности решения системы уравнений тепловой теории горения.— ПМТФ, 1964, № 4.
2. Камке Э. Справочник по обыкновенным дифференциальным уравнениям. М., 1961.
3. Johnson W. E., Nachbar W.— In: 8 th Sympos. (Internat.) on Combust. Baltimore, 1962.
4. Зельдович Я. Б. К теории распространения пламени.— «Журн. физ. химии», 1948, т. 22, № 1.
5. Ваганов Д. А., Худяев С. И. Об одной стационарной задаче теории горения.— ФГВ, 1969, т. 5, № 2.
6. Берман В. С., Рязанцев Ю. С. К анализу задачи о тепловом распространении пламени методом срачиваемых асимптотических разложений.— ПММ, 1972, т. 36, № 4.
7. Берман В. С., Рязанцев Ю. С. Применение метода срачиваемых асимптотических разложений к расчету стационарного теплового распространения фронта экзотермической реакции в конденсированной среде.— ПМТФ, 1972, № 5.
8. Баушев В. С., Вилюнов В. Н. Скорость распространений и пределы существования турбулентного пламени.— ПМТФ, 1972, № 3.
9. Баушев В. С., Вилюнов В. Н. К математической теории стационарной скорости распространения мелкомасштабного турбулентного пламени.— ПМТФ, № 4, 1973.
10. Чаплыгин С. А. Избранные труды по механике и математике. М., 1954, с. 490.
11. Баушев В. С., Вилюнов В. Н. О методе оценок нормальной скорости распространения пламени.— В кн.: Аннотации третьей научной конференции по математике и механике. Томск, изд. Томск. ун-та, 1973.

УДК 533.6.011

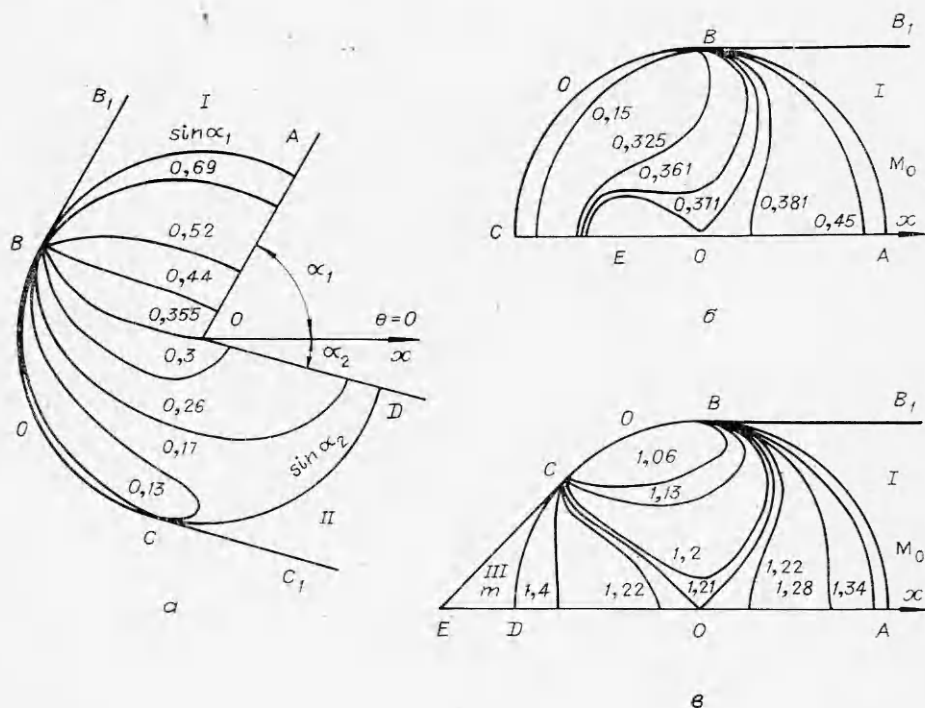
НЕЛИНЕЙНЫЙ АНАЛИЗ ТЕЧЕНИЯ, ИНИЦИИРУЕМОГО ВНЕЗАПНЫМ ДВИЖЕНИЕМ КЛИНА

В. В. Титаренко

(Саратов)

Методом срачиваемых асимптотических разложений изучаются некоторые автомоделные задачи о внезапном движении клина, рассмотренные в линейном приближении в работах [1—3]. Определен характер волновой границы области возмущений. Построены решения, описывающие во втором приближении течения за фронтами слабых ударных волн, распространяющимися по покоящемуся газу, и за фронтами линий слабого разрыва, распространяющимися по известным однородным потокам. Сформулирована краевая задача, решение которой описывает в первом приближении течения в окрестностях точек взаимодействия фронтов. Установлено существование законов подобия течений в этих окрестностях. Дается приближенное решение задач.

1. Рассмотрим течение покоящегося идеального политропического газа, возникающее при внезапном движении в отрицательном направлении оси Ox бесконечного клина с постоянной скоростью W_0 . Параметрами этой



Фиг. 1

автомодельной задачи являются число Маха клина $M_0 = W_0/a_0$, показатель адиабаты газа γ и углы α_1, α_2 , образованные гранями клина с осью Ox . Рассматриваются случаи движения (а) клина произвольного угла раствора с малой скоростью ($M_0 \ll 1$), (б) тонкого клина ($\alpha_j = \alpha \ll 1$) с дозвуковой скоростью и (в) тонкого клина со сверхзвуковой скоростью (фиг. 1, а–в соответственно). В последнем случае должно выполняться условие $\alpha M_0 \ll 1$.

В областях I–III (фиг. 1) вне зоны $OABCD$ влияния ребра клина (области возмущений) имеем однородные потоки, параметры которых известны [1, 4] (p — давление, U — скорость фронта плоской ударной волны, индексы 0, j соответствуют параметрам покоящегося газа и однородных потоков)

$$(1.1) \quad (p_j - p_0)/\gamma p_0 = [2/(\gamma + 1)][(U_j/a_0)^2 - 1],$$

$$U_j/a_0 = [(\gamma + 1)/4]M_0 \sin \alpha_j + \sqrt{1 + \{[(\gamma + 1)/4]M_0 \sin \alpha_j\}^2}.$$

Необходимо определить границу $ABCD$ и параметры неоднородного течения в области возмущений.

В дальнейшем малым параметром задачи ε будем считать либо M_0 , либо α . Согласно (1.1), в рассматриваемых случаях интенсивность плоских ударных волн порядка ε и, следовательно, течение в области возмущений с точностью до ε^2 включительно является безвихревым.

В автомодельных переменных в полярной системе координат r, θ уравнения для потенциала скорости f и Лагранжа-Коши имеют вид [5–8]

$$(1.2) \quad (1 - r^2) f_{rr} + (1/r) f_r + (1/r^2) f_{\theta\theta} = (\gamma - 1) (f - r f_r + (1/2) f_r^2 + \\ + (1/2r^2) f_\theta^2) (f_{rr} + (1/r) f_r + (1/r^2) f_{\theta\theta}) + (f_r^2 - 2r f_r) f_{rr} + \\ + (2/r^2) f_\theta (f_\theta - r f_{r\theta}) + (1/r^4) f_\theta^2 f_{\theta\theta} + (2/r^2) f_r f_\theta f_{r\theta} - (1/r^3) f_r f_\theta^2;$$

$$(1.3) \quad a_*^2 = (1 + \gamma P)^{(\gamma-1)/\gamma} = 1 - (\gamma - 1) (f - r f_r + (1/2) f_r^2 + (1/2r^2) f_\theta^2), \\ \text{где } f = \Phi/a_0^2 t; \quad P = (p - p_0)/\gamma p_0; \quad r \cos \theta = x/a_0 t; \quad r \sin \theta = y/a_0 t$$

($\Phi(x, y, t)$ — потенциал скорости в неподвижной системе координат).

Неизвестная граница области возмущений представляет собой совокупность фронтов слабых ударных волн и линий слабого разрыва, распространяющихся по покоящемуся газу или известным однородным потокам.

Дифференциальные уравнения фронтов ударной волны $r = k(\theta)$, линии слабого разрыва $r = r_*(\theta)$, распространяющихся по однородным потокам, и условия на них запишем в виде [5—8]

$$(1.4) \quad f_r - f_{jr} = \frac{2}{\gamma + 1} \left[\frac{D_2}{1 + k'^2/k^2} - \frac{a_{j*}^2}{D_2} \right], \quad D_2 = k - f_{jr} + k' f_{j\theta} / k^2;$$

$$(1.5) \quad \frac{P - P_j}{1 + \gamma P_j} = \frac{2}{\gamma + 1} \left[\frac{D_2^2}{a_{j*}^2 (1 + k'^2/k^2)} - 1 \right]; \quad f_r - f_{jr} = k' (f_{j\theta} - f_\theta);$$

$$(1.6) \quad r_* = f_{jr} - r_*' f_{j\theta} / r_*^2 + a_{j*} \sqrt{1 + r_*'^2 / r_*^2};$$

$$(1.7) \quad f_r = f_{jr}; \quad f_\theta = f_{j\theta}; \quad P = P_j \quad \text{при } r = r_*.$$

Здесь $a_* = a/a_0$, потенциал скорости и давление j -го потока можно представить в виде

$$(1.8) \quad f_j = \varepsilon [b r \cos(\theta - \varphi) + e] = \varepsilon f_j^{(1)} + \varepsilon^2 f_j^{(2)} + \dots; \\ P_j = (p_j - p_0)/\gamma p_0 = \varepsilon d_j + \varepsilon^2 l_j + \dots,$$

где d_j, l_j, b, e — известные постоянные; φ — угол наклона к оси $\theta = 0$ нормали плоской ударной волны, инициирующей j -й поток.

Уравнение линии слабого разрыва получим, интегрируя (1.6) с учетом (1.8) ($b = b_1 + \varepsilon b_2 + \dots$; $e = e_1 + \varepsilon e_2 + \dots$; $\varphi = \varphi_1 + \varepsilon \varphi_2 + \dots$):

$$(1.9) \quad r_* = \varepsilon b \cos(\theta - \varphi) + \sqrt{1 - (\gamma - 1) \varepsilon e - \varepsilon^2 b^2 [\sin^2(\theta - \varphi) + \\ + (\gamma - 1)/2]} = 1 + \varepsilon r_*^{(1)} + \varepsilon^2 r_*^{(2)} + \dots,$$

где

$$r_*^{(1)} = b_1 \cos(\theta - \varphi_1) - \frac{\gamma - 1}{2} e_1; \quad r_*^{(2)} = b_2 \cos(\theta - \varphi_1) + b_1 \varphi_2 \times \\ \times \sin(\theta - \varphi_1) - \frac{\gamma - 1}{2} e_2 - \frac{b_1^2}{2} \sin^2(\theta - \varphi_1) - \frac{\gamma - 1}{4} b_1^2 - \frac{(\gamma - 1)^2}{8} e_1^2.$$

В случае фронта, распространяющегося по покоящемуся газу, соотношения (1.4)—(1.9) сильно упрощаются ($f_j = P_j = 0$).

Задача состоит в интегрировании системы нелинейных уравнений (1.2), (1.3) с граничными условиями (1.4), (1.5), (1.7), (1.9) и условиями на гранях клина.

Решение ищется в виде асимптотических рядов по малому параметру

$$(1.10) \quad P = \varepsilon P^{(1)} + \varepsilon^2 P^{(2)} + \dots; \quad f = \varepsilon f^{(1)} + \varepsilon^2 f^{(2)} + \dots;$$

$$(1.11) \quad k = 1 + \varepsilon k^{(1)}(\theta) + \varepsilon^2 k^{(2)}(\theta) + \dots; \quad r_* = 1 + \varepsilon r_*^{(1)} + \varepsilon^2 r_*^{(2)} + \dots$$

Подставляя (1.10) в (1.2), (1.3), получим системы уравнений для первого и второго приближений. Соответствующие граничные условия получаются при подстановке (1.10), (1.11) в (1.4), (1.5), (1.7) и в условие на гранях клина. Области возмущений в линейном приближении изображены на фиг. 1.

Если исключить $f^{(1)}$ из системы уравнений для первого приближения и применить преобразование Бугзмана—Чаплыгина $\sigma = (1 - \sqrt{1 - r^2})/r$; $\theta = \theta$, то задачи сводятся к отысканию гармонической в области возмущений функции $p^{(1)}(\sigma, \theta)$, принимающей кусочно-постоянные значения на границе $r = \sigma = 1$ (значения $P(1)$ на фиг. 1 указаны рядом с фронтами: $0, \sin \alpha_1, \sin \alpha_2, M_0, m = M_0^2 / \sqrt{M_0^2 - 1}$) и удовлетворяющей условию $P_\theta^{(1)} = 0$ на гранях клина. Кроме того, в случае (б) в точке E с координатами $\sigma = -\xi_0 = -(1 - \sqrt{1 - M_0^2})/M_0, \theta = \pi$ функция $P^{(1)}$ должна иметь заданную особенность [1].

Решения указанных задач имеют вид

$$(1.12) \quad P_1^{(1)} = \sin \alpha_1 \cdot I\{\sigma^\lambda; \lambda(\theta - \alpha_1), -(\lambda/2)\pi\} + \sin \alpha_2 \cdot I \times \\ \times \{\sigma^\lambda, \lambda(\theta - \alpha_1), \lambda(3\pi/2 - \alpha_1 - \alpha_2)\};$$

$$P_2^{(i)} = \frac{m}{\pi} \ln \sqrt{\frac{1 - 2\xi_0\sigma \cos \theta + \xi_0^2\sigma^2}{\sigma^2 + 2\xi_0\sigma \cos \theta + \xi_0^2}} + M_0 I\{\sigma, \theta, -\pi/2\};$$

$$P_3^{(1)} = m I\{\sigma, \theta, \pi/2 + \arcsin(1/M_0)\} + M_0 I\{\sigma, \theta, -\pi/2\}, \lambda = \\ = \pi/(2\pi - \alpha_1 - \alpha_2),$$

где функция I определяется соотношением

$$(1.13) \quad I\{s, w, w_1\} = (1/\pi) \operatorname{arctg}\{[(1 - s^2) \sin w_1] / [2s \cos w - (1 + s^2) \cos w_1]\}.$$

Значения arctg в (1.13) берутся в интервале $(0, \pi)$. Линии равных значений давления (изобары), вычисленные в соответствии с (1.12) для некоторых значений исходных параметров (а) $\alpha_1 = 60^\circ, \alpha_2 = 15^\circ$; (б) $M_0 = 0,5$; (в) $M_0 = \sqrt{2}$, приведены на фиг. 1, а—в соответственно.

В случае (в) течения сверху и снизу от клина независимы друг от друга. Для несимметричного тонкого клина $\alpha_2 = A\alpha_1, 0 < A \leq 1$ давление в области возмущений внизу от клина $P_4^{(1)} = AP_3^{(1)}$ и подъемная сила направлена вниз.

Анализ результатов линейной теории показывает, что они должны быть уточнены в окрестности границ областей возмущений. Согласно (1.12), при $r \rightarrow 1$ можно получить

$$(1.14) \quad P_i^{(1)} = d_j + \sqrt{1 - r} Q_i / (\pi \sqrt{2}) + 0 [(1 - r^{3/2})], i = 1, 2, 3; \\ Q_1(\theta, \alpha_1, \alpha_2) = \lambda \left\{ \sin \alpha_1 \left[\operatorname{ctg} \frac{\lambda}{2} \left(\theta - \frac{\pi}{2} - \alpha_1 \right) - \operatorname{ctg} \frac{\lambda}{2} \left(\theta + \frac{\pi}{2} - \alpha_1 \right) \right] + \right. \\ \left. + \sin \alpha_2 \left[\operatorname{ctg} \frac{\lambda}{2} \left(\theta + \frac{3\pi}{2} - 2\alpha_1 - \alpha_2 \right) - \operatorname{ctg} \frac{\lambda}{2} \left(\theta - \frac{3\pi}{2} + \alpha_2 \right) \right] \right\};$$

$$Q_2(\theta, M_0) = M_0 \left[\operatorname{ctg} \left(\frac{\theta}{2} - \frac{\pi}{4} \right) - \operatorname{ctg} \left(\frac{\theta}{2} + \frac{\pi}{4} \right) - \frac{2\xi_0}{1 - 2\xi_0 \cos \theta - \xi_0^2} \right];$$

$$Q_3(\theta, M_0) = m \left[\operatorname{ctg} \left(\frac{\theta}{2} + \frac{\pi}{4} + \frac{1}{2} \arcsin \frac{1}{M_n} \right) - \operatorname{ctg} \left(\frac{\theta}{2} - \frac{\pi}{4} - \frac{1}{2} \arcsin \frac{1}{M_n} \right) \right] + M_0 \left[\operatorname{ctg} \left(\frac{\theta}{2} - \frac{\pi}{4} \right) - \operatorname{ctg} \left(\frac{\theta}{2} + \frac{\pi}{4} \right) \right].$$

Для градиента давления в окрестности $r = 1$ получается явное противоречие с предположениями, лежащими в основе линейной (акустической теории).

Анализ точных уравнений и граничных условий (1.2)–(1.9), аналогичный проведенному при изучении нелинейных конических течений газа [9], дает возможность установить, что в первом приближении

$$(1.15) \quad P_r(k, \theta) = -2/(\gamma + 1) + \dots; \quad P_r(r_*, \theta) = 1/(\gamma + 1) + \dots$$

Это позволяет в соответствии с (1.14), анализируя поведение функций Q_i , установить, что линии фронтов AB , CD являются линиями слабого разрыва (вдоль них $Q_i < 0$), а линии фронта BC — слабыми ударными волнами (вдоль них $Q_i > 0$).

Определим пределы применимости линейной теории.

А. В окрестности фронта слабой ударной волны BC , распространяющейся по покоящемуся газу ($d_j = 0$), асимптотика $f^{(1)}$, согласно линеаризованному интегралу Лагранжа-Коши (1.3), запишется в виде (в дальнейшем индекс i опускаем)

$$(1.16) \quad f^{(1)} = -(2/3)cQ(1-r)^{3/2} + O[(1-r)^{5/2}], \quad c = 1/(\pi\sqrt{2}).$$

Используя соотношения (1.14), (1.16), (1.10), (1.11) в (1.2), (1.3), можно получить

$$(1.17) \quad P = \varepsilon c Q \sqrt{1-r} + \varepsilon^2 [(\gamma+1)/2] c^2 Q^2 + \dots;$$

$$f = -\varepsilon c Q (1-r)^{3/2} - \varepsilon^2 [(\gamma+1)/2] c^2 Q^2 (1-r) + \dots$$

При $r \sim 1 - \varepsilon^2 Q^2$ разложения (1.17) (внешние по терминологии [10]) нерегулярны, т. е. младшие члены разложений становятся такого же порядка, как и старшие.

Внутренние переменные, согласно (1.17), определяются формулами

$$(1.18) \quad r = 1 - \varepsilon^2 Q^2 \delta; \quad P = [2\varepsilon^2/(\gamma+1)] Q^2 \Pi(\delta) + \dots;$$

$$f = -[2\varepsilon^4/(\gamma+1)] Q^4 F(\delta) + \dots$$

Соответствующая нелинейная система уравнений, аналогичная уравнениям одномерных коротких волн [11], и ее общее решение имеют вид (c_1, c_2 — произвольные функции θ)

$$2(F_\delta + \delta)F_{\delta\delta} - F_\delta = 0; \quad \Pi = F_\delta;$$

$$\mathbf{\Pi} = (1 \pm \sqrt{1 + \delta c_1})/c_1; \quad F = \delta/c_1 \pm 2(1 + \delta c_1)^{3/2}/(3c_1^2) + c_2.$$

Уравнение фронта ударной волны $\delta = \delta_*$ и условия на нем получаются из (1.18), (1.4), (1.5)

$$(1.19) \quad k = 1 - \varepsilon^2 Q^2 \delta_*; \quad F_\delta(\delta_*) = -2\delta_*; \quad \Pi(\delta_*) = F_\delta(\delta_*); \quad F(\delta_*) = 0.$$

Проводя сращивание внешнего разложения порядка ε^2 внутреннего разложения порядка ε^2 с внутренним разложением порядка ε^2 внешнего разложения порядка ε^2 и удовлетворяя условиям (1.19), получим

$$(1.20) \quad \begin{aligned} P &= f_r = \varepsilon^2 [(\gamma + 1)/2] c^2 Q^2 (1 + D^{1/2}) + \dots; \\ P_r &= -1/(\gamma + 1) D^{1/2} + \dots, \quad D = 1 + 4(1 - r)/\varepsilon^2 (\gamma + 1)^2 c^2 Q^2, \\ f &= -[(\gamma + 1)/2] \varepsilon^2 c^2 Q^2 (1 - r) - [(\gamma + 1)^3/12] \varepsilon^4 c^4 Q^4 (1 + D^{3/2}) + \dots; \\ k - 1 &= [(\gamma + 1)/4] P(k, \theta) = (3/16) \varepsilon^2 (\gamma + 1)^2 c^2 Q^2 + \dots \end{aligned}$$

Формулы для положения фронта ударной волны и интенсивности совпадают с полученными методом деформированных координат [5].

Б. В окрестности фронта линии слабого разрыва, распространяющегося по j -му потоку, аналогично случаю А, используя уравнения для вторых приближений при $r \rightarrow 1$, найдем

$$(1.21) \quad \begin{aligned} P &= \varepsilon \{d_j + cQ\sqrt{1-r} + 0[(1-r)^{3/2}]\} + \varepsilon^2 \{l_j + r_*^{(1)} cQ/2\sqrt{1-r} + \\ &\quad + 0(\sqrt{1-r})\} + 0(\varepsilon^3), \\ f &= \varepsilon \{f_j^{(1)} - (2/3)cQ(1-r)^{3/2} + 0[(1-r)^{5/2}]\} + \varepsilon^2 \{f_j^{(2)} - r_*^{(1)} cQ \times \\ &\quad \times \sqrt{1-r} + 0[(1-r)^{3/2}]\} + 0(\varepsilon^3). \end{aligned}$$

Разложения (1.21) нерегулярны при $1 - r \sim \varepsilon$, и поэтому необходимо ввести внутренние переменные

$$\begin{aligned} r &= 1 - \varepsilon z; \quad f = f_j - [2/(\gamma + 1)] [\varepsilon^{5/2} G_1(z, \theta) + \varepsilon^3 G_2(z, \theta) + \dots]; \\ P &= P_j + [2/(\gamma + 1)] [\varepsilon^{3/2} \Pi_1 + \varepsilon^2 \Pi_2 + \dots]. \end{aligned}$$

Уравнения для первых двух приближений

$$\begin{aligned} \Pi_1 &= G_{1z}, \quad 2(z + r_*^{(1)}) G_{1zz} - G_{1z} = 0; \\ \Pi_2 &= G_{2z}; \quad 2(z + r_*^{(1)}) G_{2zz} - G_{2z} + 2G_{1z} G_{1zz} = 0 \end{aligned}$$

легко решаются (c_i — произвольные функции θ):

$$(1.22) \quad \begin{aligned} P &= P_j + \frac{2}{\gamma + 1} \{ \varepsilon^{3/2} c_3 \sqrt{z + r_*^{(1)}} + \varepsilon^2 (c_5 \sqrt{z + r_*^{(1)}} + c_3^2) + \dots \}; \\ f &= f_j - \frac{2}{\gamma + 1} \left\{ \left[\frac{2c_3}{3} (z + r_*^{(1)})^{3/2} + c_4 \right] \varepsilon^{5/2} + \varepsilon^3 \left[\frac{2c_5}{3} (z + r_*^{(1)})^{3/2} + \right. \right. \\ &\quad \left. \left. + c_3^2 z + c_6 \right] + \dots \right\}. \end{aligned}$$

Проводя сращивание (1.21) и (1.22), найдем $c_3 = [(\gamma + 1)/2] cQ$, $c_4 = c_5 = 0$. Разложения (1.22) должны также удовлетворять внутренним граничным условиям, вытекающим из (1.9), (1.7). Однако можно заметить, что разложения не являются равномерно пригодными в окрестности линии слабого разрыва и удовлетворяют граничным условиям только с точностью до ε .

Разложения (1.22) становятся нерегулярными при $1 - r + \varepsilon r_*^{(1)} \sim \varepsilon^2 c_3^2$ и являются промежуточными, с помощью которых переносим особенность от линии $r = 1$ к линии $r = 1 + \varepsilon r_*^{(1)}$.

Внутренние разложения, согласно (1.22), запишем в виде

$$(1.23) \quad r = 1 + \varepsilon r_*^{(1)} - \varepsilon^2 c_3^2 \omega; \quad P = P_j + \frac{2}{\gamma + 1} \varepsilon^2 c_3^2 \Pi_3(\omega) + \dots;$$

$$f = f_j - \frac{2}{\gamma + 1} \varepsilon^4 c_3^4 G_3(\omega) + \dots$$

Нелинейная система уравнений для функций G_3 , Π_3 , описывающая течение вблизи фронта, распространяющегося по однородному потоку, и ее общее решение имеют вид ($c_3 = [(\gamma + 1)/2]cQ$, c_7 , c_8 — произвольные функции θ)

$$(1.24) \quad 2G_{3\omega\omega}(\omega + G_{3\omega} + r_*^{(2)}/c_3^2) - G_{3\omega} = 0; \quad \Pi_3 = G_{3\omega};$$

$$\Pi_3 = \left(1 \pm \sqrt{1 + c_7(\omega + r_*^{(2)}/c_3^2)}\right)/c_7;$$

$$G_3 = (\omega + r_*^{(2)}/c_3^2)/c_7 \pm \frac{2}{3c_7^2} [1 + c_7(\omega + r_*^{(2)}/c_3^2)]^{3/2} + c_8.$$

Срачивая (1.23), (1.24) и промежуточные разложения (1.22), определим $c_7 = 1$. Решение (1.23), (1.24) с нижними знаками и $c_8 = 2/3$ описывает течение за линией слабого разрыва и удовлетворяет условиям (1.7) с точностью до ε^2 включительно.

Выражения для градиентов давления, вычисленные в соответствии с внутренними решениями (1.20), (1.23), (1.24), совпадают с (1.15).

Отметим важную деталь, присущую задаче и во многом определяющую эффективность проведенных построений: внутренние переменные δ , ω зависят от r , θ .

Из (1.24), (1.23) можно получить уравнение линий равного значения давления $P^{(1)} = p_*$ в окрестности фронта линии слабого разрыва

$$(1.25) \quad r = 1 + \varepsilon r_*^{(1)} + \varepsilon^2 r_*^{(2)} + (\gamma + 1) \varepsilon (p_* - d_j) - (p_* - d_j)^2 / (c^2 Q^2).$$

Уравнение линий $P^{(1)} = p_*$ в окрестности фронта ударной волны получается из (1.20) и имеет вид (1.25) с $r_*^{(1)} = r_*^{(2)} = d_j = 0$. Проведенные расчеты показали существенное отличие вблизи фронтов реального поведения параметров от предсказываемого линейной теорией.

В. Уточним положение фронтов плоских ударных волн. Уравнение фронта BB_1 в случаях $a - \varepsilon$ (см. фиг. 1, $a - \varepsilon$)

$$(1.26) \quad r \cos(\theta - \alpha_1) = [(\gamma + 1)/4] M_0 \sin \alpha_1 + \sqrt{1 + \{[(\gamma + 1)/4] M_0 \sin \alpha_1\}^2}.$$

Уравнение фронта ED в случае (ε)

$$(1.27) \quad M_0 \sin \beta = r \sin(\theta - \beta),$$

где β — угол наклона скачка ED к оси $\theta = 0$, для которого справедливо соотношение [4]

$$\beta = \arcsin(1/M_0) + [(\gamma + 1)/4] [M_0^2 / (M_0^2 - 1)] \alpha_1 + O(\alpha_1^2).$$

2. Пределы применимости теории п. 1, в дальнейшем именуемой «одномерной» внутренней, определяются условиями возможности представления линейных решений (1.12) вблизи $r = 1$ в виде (1.14). Можно показать, что условия нарушаются при $|\theta - \theta_*| \sim \sqrt{1 - r}$, где θ — угол

какой-либо точки пересечения трех фронтов (точки B, C на фиг. 1). Если принять во внимание, что $Q_i \sim 1/(\theta - \theta_*)$ при $\theta \rightarrow \theta_*$, то в соответствии с (1.18), (1.23) можно заключить, что «одномерная» внутренняя теория непригодна при

$$(2.1) \quad r \sim 1 - 0(\varepsilon), \quad |\theta - \theta_*| \sim 0(\varepsilon^{1/2}).$$

Для исследования течения в зонах взаимодействия, чьи размеры определяются (2.1), необходимо ввести внутренние переменные (согласно

$$(2.1), (1.18), (1.23) \text{ в зонах взаимодействия } P \sim \varepsilon, f \sim \varepsilon^2)$$

$$(2.2) \quad r = 1 - [(\gamma + 1)/2]E\Delta; \quad \theta_* - \theta = \sqrt{[(\gamma + 1)/2EY]}; \\ P = E\mu(\Delta, Y) + \dots; \quad f = -[(\gamma + 1)/2]E^2G(\Delta, Y) + \dots$$

Положительные постоянные коэффициенты в растяжении (2.2) выбраны в результате анализа получающихся внутренних уравнений и граничных условий для рассматриваемых случаев взаимодействия с целью упрощения их вида. Для зон взаимодействия, встречающихся в случаях (а) $E = M_0 \sin \alpha_j$; (б) $E = \alpha M_0$; (в) $E = \alpha M_0, \alpha M_0^2/\sqrt{M_0^2 - 1}$.

Важным следствием (2.2) является закон подобия: течения в зонах взаимодействия у задач с различными исходными данными M_0, α_j подобны, если параметр подобия E для этих данных одинаков. Подставляя (2.2) в (1.2), (1.3) и вводя обозначение $v = G_Y$, получим нелинейную систему уравнений, описывающую в первом приближении течение в зоне взаимодействия

$$(2.3) \quad 2(\Delta + \mu)\mu_\Delta - \mu + v_Y = 0; \quad \mu = G_\Delta; \quad v_\Delta = \mu_Y.$$

Отметим, что аналогичные системы уравнений получаются при исследовании взаимодействия слабых ударных волн [6—8, 12, 13] и конических течений газа [9, 14, 15].

В рассматриваемых случаях зоны взаимодействия однотипны и построение решения в них можно свести к решению следующей краевой задачи: найти решение системы уравнений (2.3) в области $BB_2B_3B_4B_5B$ (фиг. 2), непрерывно переходящее вдоль BB_5 в известное решение в области B_1BB_5 , удовлетворяющее внутренним условиям на BB_2 и условиям сраци-

вания с известными решениями на $B_2B_3B_4B_5$.

Положение плоских фронтов BB_1 (1.26), (1.27) в переменных (2.2) записывается в виде

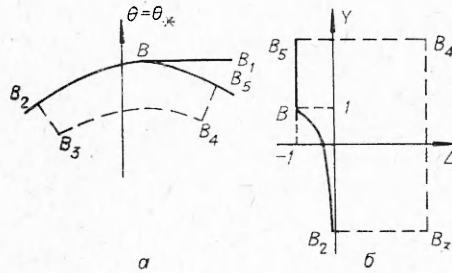
$$(2.4) \quad 2\Delta + Y^2 = -1, \quad \Delta \leq -1, \quad |Y| \geq 1,$$

положение линий слабого разрыва BB_5 — в виде

$$(2.5) \quad \Delta = -1; \quad |Y| \geq 1.$$

Решая совместно (2.4), (2.5), определим координаты точек B

$$(2.6) \quad \Delta_B = -1; \quad |Y_B| = 1.$$



Ф и г. 2

В дальнейшем приведем формулировку краевой задачи лишь в случае $\theta_B < \theta_*$ (фиг. 2,а); в соотношениях (2.4)–(2.6) $Y > 0$.

Для фронта затухающей ударной волны BB_2 (фиг. 2,б) из точных соотношений (1.4), (1.5) получим

$$(2.7) \quad d\Delta/dY = -\sqrt{-2\Delta - \mu}; \quad d\Delta/dY = -v/\mu; \\ \mu = G_\Delta (-1 \leq \Delta < 0, \quad -\infty < Y \leq 1, \quad \mu \leq -2\Delta).$$

Последнее соотношение (2.7) удовлетворяется в силу (2.3).

Условия сращивания представляют собой внутренние разложения порядка ε соответствующих внешних (по отношению к зоне взаимодействия) разложений порядка ε^2 . Учет следующих членов внешних разложений не приводит к изменению условий сращивания.

Условие согласования положения фронта BB_2 с положением, даваемым «одномерной» внутренней теорией (последнее соотношение (1.20)), дает уравнение фронта BB_2 в окрестности точки B_2 и значения параметров на нем при $Y \rightarrow -\infty$:

$$(2.8) \quad \Delta = -3/2\pi^2 Y^2 + \dots; \quad \mu = 3/\pi^2 Y^2 + \dots; \\ v = -9/\pi^4 Y^5 + \dots$$

На границе B_2B_3 условия сращивания с решением (1.20) при $V \rightarrow -\infty$, $\Delta \geq -3/2\pi^2 Y^2$:

$$(2.9) \quad \mu = (2/\pi^2 Y^2)(1 + D_*^{1/2}), \quad D_* = 1 + (\pi^2 Y^2/2)\Delta; \\ v = -(4\Delta/\pi^2 Y^3)(1 - D_*^{1/2}) - (32/3\pi^4 Y^5)(1 + D_*^{3/2}).$$

На границе B_3B_4 в соответствии с (1.10), (1.12) при $\Delta \rightarrow \infty$, $-\infty < Y < \infty$:

$$(2.10) \quad u = (1/\pi) \operatorname{arctg}(\sqrt{2\Delta}/-Y); \\ v = (1/\pi)(Y \operatorname{arctg}(\sqrt{2\Delta}/-Y) + \sqrt{2\Delta}).$$

Значения arctg в (2.10) берутся в интервале $(0, \pi)$.

На границе B_4B_5 условия сращивания с решением (1.23), (1.24) при $Y \rightarrow \infty$, $\Delta \geq -1$:

$$(2.11) \quad \mu = 1 + (2/\pi^2 Y^2)(1 - D_{1*}^{1/2}), \quad D_{1*} = 1 + (\pi^2 Y^2/2)(\Delta + 1); \\ v = Y - (4(\Delta + 1)/\pi^2 Y^3)(1 + D_{1*}^{1/2}) - (32/3\pi^4 Y^5)(1 - D_{1*}^{3/2}).$$

На линии слабого разрыва $B\bar{B}_5$, согласно (1.7), (1.8), при $\Delta = -1$, $Y \geq 1$:

$$(2.12) \quad \mu = 1; \quad v = Y.$$

Отметим, что в (2.9)–(2.12) необходимо оставить лишь одно из условий для μ и v (любое), так как условия удовлетворяют второму уравнению системы (2.3).

Таким образом, задача (2.3), (2.7)–(2.12) представляет краевую задачу для системы нелинейных уравнений эллиптического типа с неизвестным элементом границы (положение фронта BB_2 определяется через решение $\mu = \mu(\Delta, Y)$), и ее решение описывает в первом приближении течение в зонах взаимодействия, возникающих в рассматриваемых задачах.

3. Построим приближенное решение задачи (2.3), (2.7)—(2.12). Точное частное решение системы уравнений (2.3), аналогичное найденному в работе [11]

$$(3.1) \quad \Delta = (Y^2/2) \operatorname{tg}^2(\mu k_1 + k_2) - \mu - (1/2k_1) \sin 2(\mu k_1 + k_2) + \\ + B \sin^2(\mu k_1 + k_2);$$

$$v = Y[\mu - (1/k_1) \operatorname{tg}(\mu k_1 + k_2)], \quad k_1, k_2, B - \text{const},$$

удовлетворяет условиям (2.9)—(2.12) и условиям (2.7) в точке B при следующем выборе постоянных:

$$(3.2) \quad k_1 = -k_2 = \pi \text{ при } Y > 0; \quad k_1 = \pi, \quad k_2 = 0 \text{ при } Y < 0.$$

Отметим, что различный выбор постоянных при $Y < 0$ и $Y > 0$ не означает, что решение (3.1) разрывно при $Y = 0$ ($-\operatorname{tg} \pi(1 - \mu) = \operatorname{tg} \pi\mu$ и т. д.).

Для удовлетворения условий (2.7), (2.8) имеется лишь одна произвольная постоянная B . Если перейти к новым независимым переменным μ, v , то (2.7) примут вид

$$(3.3) \quad dv/d\mu = -(\Delta_\mu + Y_\mu \sqrt{-2\Delta - \mu})/(\Delta_v + Y_v \sqrt{-2\Delta - \mu}); \\ dv/d\mu = -(\mu\Delta_\mu + vY_\mu)/(\mu\Delta_v + vY_v).$$

Непосредственной подстановкой можно проверить, что семейство кривых

$$(3.4) \quad v^2 = [\pi^2\mu^2 + \pi \sin 2\pi\mu(\mu + B/2) - \sin^2\pi\mu + B\pi^2 \times \\ \times (1 - \mu \cos 2\pi\mu)]/k_3, \\ k_3 = \pi^2(\mu - (1/2\pi)\sin 2\pi\mu)/[\cos\pi\mu(1 - (1/\pi)\operatorname{tg}\pi\mu)]^2$$

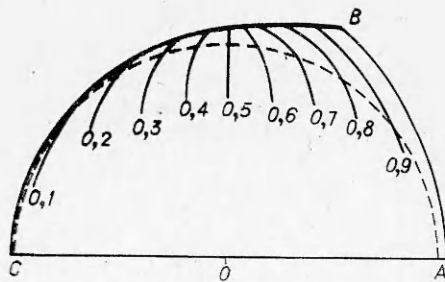
удовлетворяет второму условию (3.3). Выбор из (3.4) кривой, имеющей при выходе из зон взаимодействия правильное асимптотическое поведение, определяемое соотношениями (2.8), приводит к требованию $B = 0$.

Оставшееся соотношение в (3.3) является дифференциальным уравнением фронта BB_2 , и, если решение (3.1) с учетом (3.2) и $B=0$ — точное решение задачи (2.3), (2.7)—(2.12), то кривая, определяемая им (начальные условия для интегрирования имеем из (2.6), (2.12)), должна совпасть с кривой (3.4) при $B=0$. К сожалению, это не так, но расчеты показали, что различие в положении этих кривых очень мало.

Решение (2.2), (3.2), (3.4) позволяет провести эффективное построение полей изобар в зоне взаимодействия в плоскости Δ, Y и в физической

плоскости для различных значений параметра подобия E . Эти поля практически совпадают с полями, построенными в соответствии с (2.2), (3.1), (3.2) и первым уравнением (3.3), и, следовательно, будут хорошим приближением к точному решению краевой задачи (2.3), (2.7)—(2.12).

На фиг. 3 представлено поле изобар в физической плоскости для $E = 0,175$ (штрихом нанесена граница области возмущений в линейном приближении). За пределами зоны



Ф и г. 3

взаимодействия линии уровня вычислялись в соответствии с (1.25). Единственным материалом для сравнения с результатами проведенных расчетов являются численные расчеты случая (б), выполненные в работе [3]. Сравнение показывает удовлетворительное согласие результатов нелинейной теории и численных расчетов ($E = 0,175$, фиг. 3 работы [3]). Вне окрестности волновой границы области возмущений нелинейные решения согласуются с решениями линейной теории (1.12) и для $E < 0,04$ переходят в решения (1.12) практически непрерывным образом.

Поступила 26 VI 1975

ЛИТЕРАТУРА

1. Sakurai A. The flow due to impulsive motion of a wedge and its similarity to the diffraction of shock wave.—*J. Phys. Soc. Japan*, 1955, vol. 10, N 3.
2. Strang W. J. A physical theory of supersonic aerofoils in unsteady flow.—*Proc. Roy. Soc. L.*, 1948, vol. A195, N 1041.
3. Тузазаков Р. Я. Нестационарная задача о внезапном движении клина и конуса с до- и сверхзвуковой скоростями.—*Учен. зап. ЦАГИ*, 1973, т. 4, вып. 1.
4. Липман Г. В., Рошко А. Элементы газовой динамики. М., ИЛ, 1960.
5. Lighthill M. J. The shock strength in supersonic «conical fields».—*Phil. Mag.*, 1949, vol. 40, ser. 7, N 311.
6. De Mestre N. J. Non-linear weak shock diffraction.—*J. Austral. Math. Soc.*, 1968, vol. 8, N 4.
7. Могилевич Л. И., Шиндяпин Г. П. О нелинейной дифракции слабых ударных волн.—*ПММ*, 1971, т. 35, вып. 3.
8. Шиндяпин Г. П. Нерегулярное взаимодействие слабых ударных волн разной интенсивности.—*ПММ*, 1974, т. 38, вып. 1.
9. Булах Б. М. Нелинейные конические течения газа. М., «Наука», 1970.
10. Ван-Дайк М. Методы возмущений в механике жидкости. М., «Мир», 1967.
11. Христианович С. А. Ударная волна на значительном расстоянии от места взрыва.—*ПММ*, 1956, т. 20, вып. 5.
12. Рыжов О. С., Христианович С. А. О нелинейном отражении слабых ударных волн.—*ПММ*, 1958, т. 22, вып. 5.
13. Багдоев А. Г., Гургенян А. А. Приближенное решение ряда нелинейных задач определения ударных волн в сжимаемой жидкости.—*Изв. АН Арм. ССР. Сер. Механика*, 1968, № 1.
14. Kuo Y. H. A similarity rule for the interaction between a conical field and a plane shock.—*J. Aero. Sci.*, 1955, vol. 22, N 7.
15. Zahalak G. I., Myers M. K. Conical flows near singular rays.—*J. Fluid Mech.*, 1974, vol. 63, pt 3.

УДК 532.517.2

АВТОМОДЕЛЬНОЕ ДВИЖЕНИЕ ВЯЗКОГО ГАЗА В КАНАЛЕ

М. А. Гольдштик

(Новосибирск)

Результаты, приведенные в обзорной монографии [1], относятся в основном к капельным жидкостям, для которых влияние термического режима на течение связано с зависимостью вязкости от температуры.

В данной работе рассмотрено автомодельное течение вязкого газа в канале, температура стенки которого возрастает по линейному закону. Проанализировано влияние чисел Рейнольдса и Прандтля на теплообмен и гидродинамику потока.

1. Рассмотрим идеализированный случай, когда кинематическая вязкость ν и коэффициент температуропроводности χ считаются постоянными, а плотность ρ зависит от температуры T по закону

$$\rho = \rho_0 T_0 / T,$$